



FLEXIBLE JOB SHOP SCHEDULING BY CONSIDERING TRANSPORTATION TIMES, ARRIVAL OF URGENT JOBS, AND VARIATION IN PROCESSING TIMES

Abdolhamid Safaei Ghadikolaei*, Ahmad J.Afshari & Seyedeh Marzieh Ahmadi

Abdolhamid Safaei Ghadikolaei, Associate Professor of Industrial Management, Faculty of economics & administrative sciences, University of Mazandaran.

Ahmad J. Afshari, Assistant Professor of Industrial Engineering, Faculty of Engineering, Shomal University.

Seyedeh Marzieh Ahmadi, MSc Student, Faculty of economics & administrative sciences, University of Mazandaran.

Keywords

Dynamic scheduling,
Flexible job shop scheduling,
Efficiency,
Stability

ABSTRACT

Scheduling problems in real manufacturing environment are inherently dynamic issues and often face to uncertainties and complexities. Although considering them does not lead to find the optimal solution quickly but make it possible to use the theoretical models, developed in the areas of planning and planning, completely. In this research we presented a mathematical model for Flexible Job Shop Scheduling by considering arrival of urgent jobs and variation in processing times with the objective of minimizing the makespan(as the efficiency criterion) and the deviation between the start times of the new and old schedules(as the stability criterion). Furthermore, in order to make the model closer to the practical situation, the transportation time between workstations is taken into account as a key assumption in the model which have not been considered simultaneously in the similar studies. In the numerical results section, Because the problem is NP-hard, an algorithm based on genetic principles is presented. The results of numerical analysis of random examples, that have been obtained by adding transportation parameters to a number of problems in the literature, are shown a very small percentage of error which shows the efficiency of the algorithm.

© 2016 IUST Publication, IJIEPM. Vol. 27, No. 2, All Rights Reserved



زمانبندی تولید کارگاهی منعطف با در نظر گرفتن زمان‌های حمل و نقل، ورود سفارش جدید و تغییر زمان عملیات

عبدالحمید صفائی قادیکلایی*، احمد جعفرزاده افشاری و سیده مرضیه احمدی

چکیده:

مسائل زمانبندی در محیط‌های واقعی ساخت و تولید ماهیتا مسائل پویایی هستند و اغلب با عدم قطعیت‌ها و پیچیدگی‌هایی روبرو هستند که توجه به آن‌ها، گرچه منجر به عدم دستیابی سریع به جواب بهینه می‌گردد اما بهره‌گیری کامل از مدل‌های نظری توسعه یافته در حوزه برنامه‌ریزی و زمانبندی را ممکن می‌سازد. در این پژوهش، مدلی از زمانبندی تولید کارگاهی منعطف با در نظر گرفتن عدم قطعیت ورود سفارش جدید و تغییر زمان عملیات ارائه شده است که هدف آن کمینه کردن حداکثر دوره ساخت (به عنوان معیار کارایی) و کمینه کردن انحراف‌های بین زمان‌های شروع عملیات در دو برنامه اولیه و ثانویه (به عنوان معیار پایداری) می‌باشد. بعلاوه به منظور نزدیکتر ساختن مدل به شرایط عملی، زمان‌های حمل و نقل بین ایستگاه‌های کاری، به عنوان فرض کلیدی گنجانده شد که در تحقیقات مشابه در این حوزه، بطور همزمان در نظر گرفته نشده است. در بخش نتایج عددی، به دلیل NP-hard مساله، الگوریتمی مبتنی بر اصول ژنتیک ارائه شد. نتایجی از تجزیه و تحلیل عددی مثال‌های تصادفی، که با افزودن پارامترهای مربوط به حمل و نقل به مسائل موجود در ادبیات به دست آمداند، میزان درصد خطای بسیار ناچیز و در نتیجه کارآمدی الگوریتم را نشان داده است.

کلمات کلیدی

زمانبندی پویا،
زمانبندی تولید کارگاهی
منعطف پذیر،
کارایی، پایداری

هر کار شامل یک یا چند عملیات است و هر عملیات می‌تواند روی مجموعه‌ای از ماشین‌آلات انجام شود، می‌پردازد. هدف برنامه‌ریزی کارها به گونه‌ای است که یک یا چند معیار، به عنوان تابع هدف بهینه گردد. با توجه به تعریف، مساله تولید کارگاهی منعطف شامل دو زیر مساله اصلی به شرح زیر می‌باشد:

۱. زیر مساله تخصیص که مربوط به تخصیص هر عملیات به یک ماشین از مجموعه ماشین‌های ممکن است.
۲. زیر مساله زمانبندی که در آن توالی اجرای عملیات روی ماشین‌ها تعیین می‌گردد [۳].

این مساله برای اولین بار توسط بروکر و شلی مورد مطالعه قرار گرفت [۴]. آن‌ها حالت وجود ماشین‌های چندمنظوره را مورد بررسی قرار داده و برای مساله با دو کار، الگوریتمی چندجمله‌ای را ارائه نموده‌اند. لی و همکاران [۵] یک مدل را برای مساله زمانبندی تولید کارگاهی منعطف ارائه و سپس یک الگوریتم ژنتیک را برای حداقل‌سازی زمان تکمیل پیشنهاد کردند. سعیدی‌مهرآباد و فتح‌الله [۶] ضمن ارائه مدلی ریاضی برای حل مساله FJSP در اندازه متوسط و بزرگ، یک

۱. مقدمه

زمانبندی تولید کارگاهی^۱ یکی از مهمترین مباحث مدیریت تولید و عملیات است که شاخه‌ای از زمانبندی تولید محسوب شده و جزء پیچیده‌ترین مباحث بهینه‌سازی ترکیبی است [۱]. در مساله زمانبندی تولید کارگاهی کلاسیک (JSSP)، n کار وجود دارد که بر روی m ماشین پردازش می‌شوند، مسیر کارها ثابت و مشخص بوده و نیازی به وجود مسیر یکسان برای همه کارها نمی‌باشد [۲] مدل کارگاهی منعطف در واقع به زمانبندی انجام مجموعه‌ای از کارها که

تاریخ وصول: ۹۲/۱۰/۱۵

تاریخ تصویب: ۹۳/۰۶/۱۰

احمد جعفرزاده افشاری، دانشکده فنی و مهندسی، دانشگاه شمال، afshari@shomali.ac.ir
سیده مرضیه احمدی، دانشکده علوم اقتصادی و اداری، دانشگاه مازندران، marziye.ahmadii@gmail.com
^{*}نویسنده مسئول مقاله: عبدالحمید صفائی قادیکلایی، دانشکده علوم اقتصادی و اداری، دانشگاه مازندران، ab.safaei@umz.ac.ir

مجدد مکرر به مفهوم یک برنامه با پایداری کمتر است. وو و همکاران [۱۸] پایداری را به صورت انحراف از زمان های شروع کارها بین برنامه اصلی و برنامه دریافت شده و نیز تفاوت توالی ها بین برنامه اصلی و برنامه اصلاح شده تعريف کردند. به طور کلی می توان گفت که پایداری به مفهوم ایجاد کمینه تغییرات در برنامه زمانی ثانویه نسبت به برنامه زمانی اولیه است. رانگساریتراتسمی و همکاران [۱۶] یک روش شناسی برای نشان دادن ^۱DJSP مبتنی بر تابع دوم عیاره را ارائه دادند که بطور همزمان معیار کارایی و پایداری را در نظر می گیرد. همچنین فتاحی و فلاحتی [۱۴] نیز ضمن ارائه مدل ریاضی با رویکرد چنددهده که بطور همزمان کارایی و پایداری را در نظر می گیرد، الگوریتمی فرابتکاری مبتنی بر الگوریتم ژنتیک را ارائه دادند. معیار پایداری توسط پژوهشگران دیگر نظری [۱۹]، [۱۵] نیز ارائه شده است. از سوی دیگر یکی از مسائل حائز اهمیت در سیستم های تولید کارگاهی، نحوه استفاده از سیستم های حمل و نقل می باشد. در نظر گرفتن زمان های حمل و نقل تجهیزات از قبیل جرثقیل، لیفتراک، ریباط و غیره در مسائل زمانبندی تولید کارگاهی موجب می گردد که زمانبندی این سیستم ها واقعی تر و به شرایط واحدهای تولیدی نزدیکتر گردد. در این راستا، اگرچه چندین پژوهشگر، مطالعات خود را به حوزه مسائل JSP با محدودیت های حمل و نقل اختصاص داده اند، با این حال پیشرفت در این حوزه با توجه به پیچیدگی زیاد این مسائل حتی در نمونه های کوچک و ساده، کند می باشد [۲۰]. نوآوری اصلی پژوهش حاضر، توسعه مدلی از زمانبندی تولید کارگاهی منعطف با در نظر گرفتن زمان های حمل و نقل تحت محیط پویا است که علیرغم کاربردهای سیار در محیط های خدماتی و تولیدی واقعی، تاکنون در هیچ پژوهشی بطور همزمان مورد مطالعه قرار نگرفته است. در این مدل هدف حداقل کردن حداکثر دوره ساخت و انحرافات بین زمان های شروع عملیات در دو برنامه اولیه و ثانویه می باشد. پویایی مدل توسط ورود کارهای جدید و تغییر زمان عملیات نشان داده می شود. در رویکرد حل مساله این پژوهش، ضمن ارائه مثال های عددی تصادفی و ارائه نمودار گانت در ابعاد کوچک با استفاده از حل در نرم افزار لینگو^۹، از روش حل الگوریتم ژنتیک استفاده خواهد شد. سایر بخش های پژوهش حاضر، به صورت مقابل دسته بندی شده است که عبارتنداز: بخش (۲) تشریح مساله و ارائه مدل ریاضی، بخش (۳) پیچیدگی مساله، بخش (۴) رویکرد حل مساله و ارائه الگوریتم ژنتیک و بخش (۵) بحث و نتیجه گیری و ارائه پیشنهادها برای پژوهش های آینده.

۲. تعریف مسئله

۱-۲. مفروضات مساله

در این قسمت مدل ریاضی (برنامه ریزی خطی عدد صحیح ترکیبی) به منظور شناسایی بیشتر مساله و همچنین استفاده از آن

الگوریتم سلسه مراتبی مبتنی بر جستجوی ممنوع را پیشنهاد دادند. افشاری و امین ناصری [۷] مساله FJSP را با در نظر گرفتن ۳ نوع انعطاف پذیری در ماشین، توالی و زمان عملیات مورد مطالعه قرار داده و از یک الگوریتم ژنتیک مبتنی بر جستجوگر محلی جهت حل استفاده کردند. همچنین مساله FJSP توسط پژوهشگران دیگر نیز مورد بررسی قرار گرفت (برای مثال [۸]، [۹]، [۱۰]).
اما اغلب سیستم های تولیدی بکار رفته در محیط های تولیدی با رویدادهای غیر قابل پیش بینی و اجتناب ناپذیر مواجه هستند که موجب تغییر در برنامه زمانبندی شده می شود. این رویدادها که از منابع مختلف مانند تغییر در زمان عملیات، از کار افتادگی غیرمنتظره ماشین، ورود سفارشات جدید، لغو یا اصلاح سفارش موجود و غیره ناشی می شود، منجر به شکاف بین تئوری زمانبندی و عمل زمانبندی پویا^{۱۰} را بوجود آورد. در مسائل زمانبندی پویا مجموعه ای نامحدود از کارها وجود دارد که ورود آن ها بعد از زمانبندی ادامه دارد. اولین مطالعه در زمانبندی تولید کارگاهی پویا توسط هالووی و نلسون [۱۰] بود. آن ها یک رویه چندراده را توسط ایجاد برنامه ها به صورت متناوب^{۱۱} پیاده سازی کردند و نتیجه گرفتند که یک سیاست متناوب در محیط های تولید کارگاهی پویا مؤثر است. لی او و همکاران [۱۱] مساله FJS تحت محیط پویا را مورد بررسی قرار دادند و یک الگوریتم ژنتیک را پیشنهاد کرده و استراتژی زمانبندی مجدد محرك سیکل را بکار برند. ادبی و همکاران [۱۲] سیاست محرك رویداد^{۱۲} را برای زمانبندی تولید کارگاهی واکنشی با ورود کارهای تصادفی و از کارافتادگی ماشین ها در نظر گرفتند و یک شبکه عصبی مصنوعی^{۱۳} با معیار عملکرد چنددهده شامل بیکاری^{۱۴} و دو ه ساخت^{۱۵} را ارائه دادند. نتایج بالاترین اثربخشی و کارایی روش پیشنهاد شده در یک تنوعی از شرایط کارگاه را نشان داد. در سال ۱۳۸۹ نهادنی و عباسیان [۱۳] در پژوهش خود مساله FJSP را با در نظر گرفتن پارامترهای پویایی و انعطاف پذیری و نیز چند معیاره بودن تابع هدف مورد مطالعه قرار داده و یک الگوریتم ژنتیک با کروموزوم دو بعدی پویا برای حل مساله ارائه دادند. معیار دوره ساخت توسط برخی از پژوهشگران دیگر همچون فتاحی و فلاحتی [۱۴] و گورن و همکاران [۱۵]، نیز در نظر گرفته شده است.

در حالی که معیارهای کارایی نظری دوره ساخت، موعده تحویل و غیره از جمله معیارهای رایج در بیشتر پژوهش های زمانبندی هستند و در اکثر پژوهش ها به صورت تنها یا با هم بکار می روند و بخوبی شناخته شده اند، تنها تعداد کمی از پژوهشگران اثر اختلال در زمانبندی را نشان داده اند. این اثر که پایداری^{۱۶} نامیده می شود، رویکرد جدیدی می باشد که در سال های اخیر در پژوهش های زمانبندی مورد توجه قرار گرفته است، با این حال یک تعریف عمومی برای این واژه وجود ندارد [۱۶]. اولین بار چارچ و اوزسوی [۱۷] تعداد دفات زمانبندی مجدد را به عنوان معیار پایداری بکار برند و بیان کردند که زمانبندی

M'_{ijk}	اگر عملیات z_{ij} از کار 'آم بتواند بر روی ماشین 'نجام شود، در غیر این صورت صفر
d_{kl}	فاصله بین دو ماشین k و l
σ_v	سرعت وسیله حمل و نقل v
M	یک مقدار بزرگ
NV_v و NV'_v	به ترتیب تعداد کل هر وسیله حمل و نقل در برنامه اولیه و ثانویه
RT	زمان شروع از دوره زمانبندی مجدد
متغیرها	
t_{ij}	زمان شروع عملیات z_{ij} از کار 'آم در برنامه اولیه
t'_{ij}	زمان شروع عملیات z_{ij} از کار 'آم در برنامه جدید
C_{ij}	زمان تکمیل عملیات z_{ij} از کار 'آم در برنامه اولیه
C'_{ij}	زمان تکمیل عملیات z_{ij} از کار 'آم در برنامه جدید
C_{Max}	حداکثر زمان تکمیل کارها
X_{ijk}	اگر ماشین k برای عملیات z_{ij} از کار 'آم انتخاب شود، ۱ در غیر این صورت صفر
X'_{ijk}	اگر ماشین k' برای عملیات z_{ij} از کار 'آم انتخاب شود، ۱ در غیر این صورت صفر
Z_{ijhkg}	اگر عملیات z_{ij} از کار 'آم قبل از عملیات z_{hk} از کار 'am
	بر روی ماشین K انجام گیرد، ۱، در غیر این صورت صفر
$Z_{ijhkg'}$	اگر عملیات z_{ij} از کار 'آم قبل از عملیات $z_{hk'}$ از کار 'am
	بر روی ماشین K' انجام گیرد، ۱، در غیر این صورت صفر
Y_{klv}	اگر بین ماشین k و l ، وسیله حمل و نقل v استفاده شود، در غیر این صورت صفر
FF_{ij}	اگر عملیات z_{ij} از کار 'آ قبلاً RT شروع شود، ۱، در غیر این صورت صفر
FC_{ij}	اگر عملیات z_{ij} از کار 'آ قبلاً RT تمام شود برابر با ۱، در غیر این صورت صفر
تابع هدف	
در این مدل به منظور ارزیابی راه حل از دو عامل کارایی و پایداری استفاده شده است. عامل کارایی توسط معیار دوره ساخت (C_{Max}) و معیار پایداری نیز توسط انحراف کل زمان‌های شروع کارها در برنامه اولیه و برنامه جدید یا برنامه بعد از وقوع پیشامد اندازه‌گیری می‌شود که در محدودیت‌های (۲) تا (۵) نحوه محاسبه آنها نشان داده می‌شود.	

$$Minz = C_{Max} + \sum_i \sum_j \Delta_{ij} \quad (1)$$

محدودیت‌های مدل

محدودیت (۲) و (۳) انحراف از زمان شروع عملیات z_{ij} از کار 'آ در دو برنامه جدید و قدیم را نشان می‌دهد.

$$\Delta_{ij} \geq t_{ij} - t'_{ij} \quad \forall i \in n, j \in j_i \quad (2)$$

$$\Delta_{ij} \geq t'_{ij} - t_{ij} \quad \forall i \in n, j \in j_i \quad (3)$$

برای حل بهینه مسائل کوچک ارائه می‌گردد. یک مجموعه از n کار در ابتدای برنامه زمانی، زمانبندی شده‌اند و یک مجموعه از n' کار جدید که بعد از شروع برنامه می‌رسد، وجود دارد. هر کار شامل یک توالی از عملیات $i_{j_1}, i_{j_2}, \dots, i_{j_n}$ می‌باشد. هر عملیات به یک مجموعه از ماشین‌های پردازش و یک زمان پردازش وابسته است. وقتی یک کار، یک عملیات را به پایان رساند به منظور حرکت به ماشین دیگر، مستلزم منبع حمل و نقل می‌باشد. برنامه اولیه برای سفارشات پذیرفته شده در زمان صفر و در حالتی قطعی تهیه می‌شود. پیشامد ورود سفارشات جدید و تغییر زمان عملیات، در این مدل در نظر گرفته می‌شود، به این صورت که بر اساس تصمیم مدیر، برنامه به صورت دوره‌ای مورد بازنگری قرار می‌گیرد. در صورت تغییر زمان پردازش عملیات مربوط به یک کار، مقدار جدید جایگزین می‌شود. همچنین زمانبندی عملیات باقیمانده از برنامه در حالت قطعی و کارهای جدید، براساس توابع کارایی و پایداری بطور همزمان، صورت می‌گیرد. کارایی با تابع هدف C_{Max} و پایداری با انحراف زمان شروع عملیات مربوط به کارهای واحد شرایط محاسبه می‌شود. منظور از کارهای واحد شرایط، عملیات مربوط به کارهایی است که تا قبل از شروع دوره زمانبندی مجدد، فرآیند پردازش آنها شروع نشده است. مفروضات مدل به شرح زیر است:

- هر ماشین تنها یک عملیات را در یک زمان پردازش می‌کند.
- زمان آماده‌سازی بین عملیات ناچیز است و مستقل از ترتیب عملیات می‌باشد.
- زمان حمل و نقل بین ایستگاه‌ها قابل چشم‌پوشی نمی‌باشد.
- قطع کردن عملیات یا بریدگی مجاز نمی‌باشد.
- بین هر دو ماشین یک وسیله حمل و نقل و از یک نوع اختصاص می‌یابد.

۲-۲. مدل ریاضی

در ادامه اندیس‌ها و مجموعه‌ها، پارامترهای ورودی، متغیرها و مدل ریاضی نشان داده خواهد شد.

اندیس‌ها و مجموعه‌ها

$i = 1, \dots, n$	شاخص کار در برنامه اولیه
$i' = 1, \dots, n'$	شاخص کار در برنامه جدید
$j = 1, \dots, j_i$	شاخص عملیات
$k = 1, \dots, M$	شاخص ماشین
$k' = 1, \dots, M$	شاخص ماشین در برنامه جدید
v	شاخص مربوط به وسایل حمل و نقل

پارامترهای ورودی

P_{ijk}	زمان پردازش عملیات z_{ij} از کار 'آم بر روی ماشین k
$P'_{ijk'}$	زمان پردازش عملیات z_{ij} از کار 'آم بر روی ماشین k'
M_{ijk}	اگر عملیات z_{ij} از کار 'آم بتواند بر روی ماشین k انجام شود، ۱، در غیر این صورت صفر

$$t'_{ij} \geq C'_{hg} - (2 - X'_{ijk} - X'_{hjk} + Z'_{ijhjk}).M \quad (15)$$

$$\forall i \in n + n', j \in j_i, h \in n + n', g \in g_h, k \in K', h \neq i \vee g \neq j$$

محدودیت (۱۶) و (۱۷) بیان می کند که اگر عملیات g از کار h و عملیات g از کار A روى ماشین k باشد، توالى انجام کارها به چه صورت خواهد بود.

$$Z_{ijhjk} \leq \left(\frac{X_{ijk} + X_{hjk}}{2} \right) \quad \forall i \in n, j \in j_i, h \in n, g \in g_h, k \in K \quad (16)$$

$$Z'_{ijhjk} \leq \left(\frac{X'_{ijk} + X'_{hjk}}{2} \right) \quad \forall i \in n + n', j \in j_i, h \in n + n', g \in g_h, k \in K' \quad (17)$$

محدودیت (۱۸) و (۱۹) بیان می کند که بین هر دو ماشین یک وسیله حمل و نقل قرار می گیرد. (تهیه یک منبع حمل و نقل بین دو ماشین L و K اختصاص می یابد).

$$\sum_v Y_{klv} = 1 \quad \forall k, l \in K \quad (18)$$

$$\sum_v Y'_{klv} = 1 \quad \forall k, l \in K' \quad (19)$$

محدودیت (۲۰) و (۲۱) نشان می دهد که از یک نوع وسیله حمل و نقل در مسیر رفت و برگشت یک ماشین استفاده می شود.

$$Y_{klv} = Y_{lkv} \quad \forall k, l \in K, v \in V \quad (20)$$

$$Y'_{klv} = Y'_{lkv} \quad \forall k, l \in K', v \in V \quad (21)$$

محدودیت (۲۲) و (۲۳) نشان می دهد که زمان شروع عملیات مربوط به هر کار، بعد از اتمام عملیات قبلی از همان کار و با در نظر گرفتن زمان جابجایی از ماشین قبلی به ماشین فعلی، است. به عبارت دیگر این محدودیت بیان می کند که در صورتی یک کار می تواند شروع شود که محدودیت پیش نیازی آن رعایت شده باشد.

$$t_{ij} \geq C_{ij-1} + \sum_{v \in V} \left(\frac{Y_{lkv} \cdot d_{kl}}{\sigma_v} \right) - (2 - X_{ijk} - X_{ij-1k}).M \quad (22)$$

$$= 2 \dots j_i, \quad k, l \in K$$

$$t'_{ij} \geq C'_{ij-1} + \sum_{v \in V} \left(\frac{Y_{lkv} \cdot d_{kl}}{\sigma_v} \right) - (2 - X_{ijk} - X'_{ij-1k}).M \quad (23)$$

$$\forall i \in n + n', j = 2 \dots j_i, \quad k, l \in K'$$

محدودیت (۴) و (۵) زمان دوره ساخت را در دو برنامه اولیه و جدید تعریف می کند. زمان دوره ساخت، زمان کل موردنیاز برای پردازش کارها می باشد. C_{ij} و C'_{ij} زمان تکمیل عملیات j از در دو برنامه می باشد که در محدودیت های (۴) و (۷) محاسبه می شود.

$$C_{Max} \geq C_{ij} \quad \forall i \in n, j \in j_i \quad (4)$$

$$C_{Max} \geq C'_{ij} \quad \forall i \in n + n', j \in j_i \quad (5)$$

$$C_{ij} \geq t_{ij} + \sum_{k \in K} p_{ijk} \cdot X_{ijk} \quad \forall i \in n, j \in j_i \quad (6)$$

$$C'_{ij} \geq t'_{ij} + \sum_{k \in K'} p'_{ijk} \cdot X'_{ijk} - FC_{ij}.M \quad \forall i \in n + n', j \in j_i \quad (7)$$

محدودیت (۸) و (۹) موجب می گردد که ماشین موردنیاز هر عملیات از بین ماشین های قابل اختصاص به آن عملیات انتخاب گردد. ماشین های قابل اختصاص برای هر عملیات توسط پارامتر صفر-یک M_{ijk} تعریف شده اند. عملیات j از کار A می تواند بر روی ماشین K انجام شود اگر $M_{ijk}=1$ باشد.

$$X_{ijk} \leq M_{ijk} \quad \forall i \in n, j \in j_i, k \in K \quad (8)$$

$$X'_{ijk} \leq M'_{ijk} \quad \forall i \in n + n', j \in j_i, k \in K' \quad (9)$$

محدودیت (۱۰) و (۱۱) موجب می گردد هر عملیات روی یک ماشین انجام شود.

$$\sum_{k \in K} X_{ijk} = 1 \quad \forall i \in n, j \in j_i \quad (10)$$

$$\sum_{k \in K'} X'_{ijk} = 1 \quad \forall i \in n + n', j \in j_i \quad (11)$$

محدودیت (۱۲) تا (۱۵)، بیان می کند عملیات j از کار A و عملیات g از کار h نمی توانند در یک زمان بر روی ماشین k پردازش شوند.

$$t_{hg} \geq C_{ij} - (3 - X_{ijk} - X_{hjk} - Z_{ijhjk}).M \quad (12)$$

$$\forall i \in n, j \in j_i, h \in n, g \in g_h, k \in K, h \neq i \vee g \neq j$$

$$t_{ij} \geq C_{hg} - (2 - X_{ijk} - X_{hjk} + Z_{ijhjk}).M \quad (13)$$

$$\forall i \in n, j \in j_i, h \in n, g \in g_h, k \in K, h \neq i \vee g \neq j$$

$$t'_{hg} \geq C'_{ij} - (3 - X'_{ijk} - X'_{hjk} - Z'_{ijhjk}).M \quad (14)$$

$$\forall i \in n + n', j \in j_i, h \in n + n', g \in g_h, k \in K', h \neq i \vee g \neq j$$

$$\begin{aligned} X_{ijk}, X'_{ijk}, Y_{klv}, Y'_{klv}, Z_{ijhgk}, Z'_{ijhgk}, FF_{ij}, FC_{ij} \\ \in \{0,1\} \\ P_{ijk} \geq 0, P'_{ijk} \geq 0, C_{ij} \geq 0, C'_{ij} \geq 0, t_{ij} \\ \geq 0, t'_{ij} \geq 0 \end{aligned} \quad (37)$$

۳. بودن مساله NP-hard

پیچیدگی یک مساله ترکیبی، عبارت است از مقدار زمانی که در یک الگوریتم برای حل آن مساله صرف می‌شود. مساله FJSP پژوهش، توسعه یافته مساله تولید کارگاهی کلاسیک با در نظر گرفتن انعطاف‌پذیری ماشین‌های موازی می‌باشد. گری و همکارانش [۲۱] در سال ۱۹۷۶ در پژوهش خود ثابت کردند که مساله تولید کارگاهی کلاسیک، NP-hard است، بنابراین FJSP هم شدیداً NP-hard می‌باشد [۲۲].

۴. رویکرد حل مساله

برای اینگونه مسائل زمانبندی، راهکار بهینه‌سازی کارآمدی موردنیاز است تا با در نظر داشتن پیچیدگی ناشی از افزایش نمایی فضای جواب، مقادیر مناسبی برای معیار عملکرد مساله بدست آید. در تحقیق حاضر سعی شده است از قابلیت‌های الگوریتم ژنتیک در طراحی روشی مناسب برای حل این مساله استفاده شود. در ادامه ساختار الگوریتم ژنتیک پیشنهادی برای حل مساله معرفی و پس از تنظیم پارامترها، کارایی الگوریتم پیشنهادی براساس معیار عملکرد و از طریق آزمایشات عددی تصادفی نشان داده خواهد شد.

۴.۱. الگوریتم ژنتیک

گام‌های الگوریتم ژنتیک ارائه شده برای مساله مورد نظر عبارتند از:

۱. ایجاد یک مجموعه جواب شدنی به عنوان جمعیت اولیه
 ۲. ارزیابی هر کروموزوم و تعريف تابع برازش مناسب
 ۳. فرآیند تکثیر
 ۴. اعمال عملگرهای تقاطع و جهش بر روی کروموزوم‌های والد
 ۵. همگرایی الگوریتم
- در ادامه هر یک از این اجزای طراحی شده به تفصیل شرح داده خواهد شد.

۴.۱-۱. بازنمایی کدینگ جواب‌ها

مهم‌ترین بخش یک الگوریتم ژنتیک نحوه‌ی نمایش جواب‌ها است. به این منظور کروموزوم‌ها باید طوری طراحی شوند که جواب مساله مورد نظر را دربرگیرند. در الگوریتم پیشنهادی هر کروموزوم از شش بخش تشکیل شده است. سه بخش آن مربوط به زمان قبل از شکست و سه بخش دیگر با ماهیتی مشابه مربوط به زمان پس از شکست می‌باشند.

بخش اول مربوط به تخصیص عملیات به ماشین‌ها و بخش تعیین کننده توالی انجام عملیات روی ماشین‌ها است. هر بخش از یک ماتریس (تعداد کل عملیات \times ۱) تشکیل می‌شود. برای مثال اگر دو

محدودیت (۲۴) و (۲۵) تعیین می‌کند که تعداد هر وسیله نقلیه از ظرفیت موجود از آن نوع بیشتر نشود.

$$\sum_{k \in K} \sum_{l \in L} Y_{klv} \leq NV_v \quad \forall v \in V \quad (24)$$

$$\sum_{k \in K} \sum_{l \in L} Y'_{klv} \leq NV'_v \quad \forall v \in V \quad (25)$$

محدودیت (۲۶) و (۲۷) تعیین کننده‌ی کارهایی هستند که قبل از شروع می‌شوند و محدودیت (۲۸) و (۲۹) موجب می‌گردد که زمان شروع این کارها در دو برنامه برابر باشد.

$$t_{ij} < RT + (1 - FF_{ij}).M \quad \forall i \in n, j \in j_i \quad (26)$$

$$t_{ij} \geq RT - FF_{ij}.M \quad \forall i \in n, j \in j_i \quad (27)$$

$$t'_{ij} > t_{ij} - (1 - FF_{ij}).M \quad \forall i \in n, j \in j_i \quad (28)$$

$$t'_{ij} \leq t_{ij} - (1 - FF_{ij}).M \quad \forall i \in n, j \in j_i \quad (29)$$

$$FF_{ij} = 0 \quad \forall i \in n', j \in J_i$$

محدودیت (۳۰) و (۳۱) تعیین می‌کند که کدام کارها قبل از شروع دوره زمانبندی مجدد تکمیل شده‌اند و محدودیت (۳۲) و (۳۳) موجب می‌گردد که زمان تکمیل این کارها بعد از شروع دوره زمانبندی مجدد مانند قبل باقی بماند.

$$C_{ij} < RT + (1 - FC_{ij}).M \quad \forall i \in n, j \in j_i \quad (30)$$

$$C_{ij} \geq RT - FC_{ij}.M \quad \forall i \in n, j \in j_i \quad (31)$$

$$C'_{ij} \geq C_{ij} - (1 - FC_{ij}).M \quad \forall i \in n, j \in j_i \quad (32)$$

$$C'_{ij} \leq C_{ij} - (1 - FC_{ij}).M \quad \forall i \in n, j \in j_i \quad (33)$$

$$FC_{ij} = 0 \quad \forall i \in n', j \in J_i$$

محدودیت (۳۴) موجب می‌گردد پردازش کارهایی که شروع شان قبل از RT نیست، بعد از شروع دوره زمانبندی مجدد و بعد از اتمام کارهایی که تا لحظه RT مشغول هستند، آغاز شود.

$$t'_{ij} \geq RT - FF_{ij}.M \quad \forall i \in n + n', j \in J_i \quad (34)$$

محدودیت (۳۵) و (۳۶) موجب می‌گردد که عملیات آم از کار آم که قبل از RT شروع شده و به ماشین k تخصیص یافته است، در برنامه جدید نیز بر روی K انجام گیرد.

$$X_{ijk} \geq X'_{ijk} - (1 - FF_{ij}).M \quad \forall i \in n, j \in j_i, k \in K \quad (35)$$

$$X_{ijk} \leq X'_{ijk} + (1 - FF_{ij}).M \quad \forall i \in n, j \in j_i, k \in K \quad (36)$$

محدودیت (۳۷) نمایانگر متغیرهای نامنفی و باینری می‌باشد.

برای هر کروموزوم از جمعیت آنقدر این کار را تکرار می‌کنیم تا به یک جواب شدنی برسیم و در نهایت جمعیت کامل گردد.

۴-۳. ارزیابی کروموزوم‌ها

برای ارزیابی جواب‌های (کروموزوم‌های) تولید شده از مقدار تابع هدف به صورت زیر استفاده می‌گردد.

$Fitness = M - \text{Objective value}$

که M یک عدد بزرگ نسبت به مقادیر تابع هدف می‌باشد.

۴-۴. فرآیند تکثیر

در الگوریتم ژنتیک جمعیت جواب‌ها از هر نسل به نسل بعد تکامل پیدا می‌کنند. تکامل جمعیت از طریق عملگرهای ژنتیکی همچون تقاطع و جهش انجام می‌گیرد. پیش از اعمال عملگرها باید کروموزوم‌هایی که عملگرها باید روی آنها اجرا گردد، انتخاب شوند. روش‌های متفاوتی برای انتخاب جواب‌ها جهت اعمال عملگرها وجود دارد. یکی از این روش‌ها چرخه‌ی رولت نام دارد که در این تحقیق از آن استفاده شده است. در این روش، جواب‌های با میزان برازش بهتر احتمال بیشتری برای انتخاب جهت اعمال عملگرها دارند. همچنین، در الگوریتم پیشنهادی بخشی از جمعیت بدون تغییر، مستقیماً به نسل بعد انتقال می‌باشد. این تعداد، از بهترین جواب‌های هر نسل انتخاب می‌گردد و مابقی جمعیت از طریق انتخاب والدین و اعمال عملگرها به وجود می‌آیند.

۴-۵. عملگر تقاطع

عملگر تقاطع مورد استفاده در این تحقیق بر دو نوع است. نوع اول بر روی بخش‌های مربوط به تخصیص عملیات به ماشین‌ها و تعیین توالی آن‌ها بر روی ماشین استفاده می‌شود که شامل عملگر تک نقطه‌ای است. در این روش یک ستون از ماتریس کروموزوم به تصادف انتخاب شده و بخش قبل از این ستون از والد اول و مابقی از والد دوم گرفته می‌شود. در شکل ۳ نحوه عملکرد این نوع تقاطع نشان داده شده است.

نوع دوم عملگر تقاطع مورد استفاده در این تحقیق، عملگر عدد تصادفی^{۱۱} نام دارد. این عملگر برای بخش مربوط به تخصیص وسایل حمل و نقل بین ماشین‌ها استفاده می‌گردد. بدین صورت که برای هر ژن از کروموزوم فرزند یک عدد تصادفی در بازه‌ی [۰, ۱] اختصاص می‌یابد. در صورتی که عدد تصادفی مربوطه کوچکتر از $\frac{1}{2}$ بود، ژن مورد نظر از والد اول و در غیر این صورت از والد دوم گرفته می‌شود. نحوه عملکرد این عملگر نیز در شکل ۴ نشان داده شده است. از هر یک از این دو روش، دو فرزند حاصل می‌گردد و در هر بار اجرای عملگر تقاطع یکی از این دو روش با احتمال یکسان انتخاب شده و جهت تولید فرزند اجرا می‌گردد.

کار داشته باشیم و هر کار نیز شامل سه عملیات باشد بنابراین تعداد کل عملیات برابر ۶ می‌باشد. هر درایه از ماتریس مربوط به یک عملیات از یک کار می‌باشد و عدد مربوط به آن درایه در بخش اول نشان دهنده ماشینی است که عملیات مربوطه را پردازش می‌نماید و در بخش دوم الیت انجام کار را نشان می‌دهد. در بخش سوم نیز وسایل حمل و نقل به فاصله بین ماشین‌ها اختصاص می‌یابند. شکل ۱ و ۲ نحوه نمایش کروموزوم را ارائه می‌دهد.

	O ₁₁	O ₁₂	O ₁₃	O ₂₁	O ₂₂	O ₂₃
بخش ۱	2	1	2	2	1	1
بخش ۲	0.08 72	0.12 55	0.19 33	0.67 98	0.20 29	0.44 32

شکل ۱. نحوه نمایش کروموزوم

	M ₁	M ₂	M ₃
M ₁	0	1	1
M ₂	1	0	2
M ₃	1	2	0

شکل ۲. نحوه تخصیص وسایل حمل و نقل بین ماشین‌ها

همان‌طور که در شکل می‌بینید عملیات اول از کار اول به ماشین ۲، عملیات دوم از کار اول به ماشین ۱ و همین‌طور مابقی عملیات به ماشین‌ها اختصاص یافته‌اند. همچنین به طوری که ملاحظه می‌شود O₁₁ و O₂₁ هر دو روی ماشین ۲ پردازش می‌شوند. اما با توجه به بخش دوم، کروموزوم O₂₁ از اولویت بالاتری نسبت به O₁₁ برخوردار است و بنابراین زودتر از آن انجام می‌گردد. بقیه عملیات نیز به همین ترتیب روی ماشین‌ها قرار می‌گیرند. در بخش سوم هر درایه از ماتریس نشان دهنده نوع وسیله حمل و نقلی است که در حد فاصل دو ماشین قرار گرفته است. به همین صورت بخش‌های مشابهی برای زمانبندی عملیات و تخصیص وسایل حمل و نقل بعد از شکست وجود دارد که در آن عملیات مربوط به کارهای جدید و وسایل حمل و نقل جدید نیز به حالت قبل اضافه شده است.

۴-۶. ایجاد جمعیت اولیه

بعد از تبیین ساختار برای نمایش جواب‌های مساله، اولین گام از الگوریتم، تولید جمعیت اولیه جواب‌های است. بیشتر الگوریتم‌های فرالبتکاری تکاملی جمعیت محور، از یک رویکرد تصادفی برای تولید جواب‌های اولیه استفاده می‌کنند. در این پژوهش نیز همین رویکرد اتخاذ شده است. به این منظور هر کروموزوم به صورت تصادفی تولید می‌شود. در صورتی که کروموزوم تولید شده، شدنی باشد مورد قبول واقع شده وارد جمعیت می‌شود، در غیر این صورت حذف می‌شود.

تقاطع تک نقطه‌ای

شکل ۳- نمایش تقاطع تک نقطه‌ای مساله

تقاطع تصادفی

شکل ۴. نمایش تقاطع تصادفی مساله

۴-۲-۱. نتایج عددی

برای آزمون صحت عملکرد الگوریتم ارائه شده، ۱۵ مثال تصادفی با استفاده از الگوریتم مقاله فتاحی و فلاحی (۲۰۱۰) طراحی و حل گردید. پارامترهای مربوط به زمان‌های حمل و نقل شامل ماتریس فاصله بین ماشین‌ها، نوع، تعداد و سرعت تجهیزات حمل و نقل از داده‌های یک سیستم واقعی استخراج شده است. نتایج حاصل از مسائل تصادفی با استفاده از الگوریتم ژنتیک و همچنین نرم‌افزار لینگو^۹ در جدول ۲ نشان داده شده‌اند. در این جدول مشاهده می‌کنید که جواب بدست آمده از طریق ژنتیک نزدیک به جواب لینگو می‌باشد. اما با بزرگتر شدن ابعاد مساله به دلیل اضافه شدن کار، عملیات و یا ماشین جدید، نرم‌افزار لینگو قادر به حل در زمان کمتر از ۱ ساعت (۳۶۰۰ ثانیه) نمی‌باشد. در حالی که الگوریتم ژنتیک این مثال را در کمتر از ۱۵ ثانیه حل می‌کند. هدف از انجام این آزمون، تعیین نحوه عملکرد الگوریتم پیشنهادی در شرایط مختلف می‌باشد که این نتایج، عملکرد خوب الگوریتم ژنتیک را نشان می‌دهد. دو ستون آخر از جدول موردنظر برای نشان دادن کارایی الگوریتم نسبت به جواب بدست آمده از روش شاخو کران در لینگو و همچنین نسبت به میانگین جواب در ژنتیک است که درصد انحراف کمی از بهترین جواب بهینه را نشان می‌دهد. این کارایی توسط رابطه زیر محاسبه شده است [۲۲].

شکل ۶ و ۷ نتایج این مقایسه را به صورت نمودار نشان می‌دهد. در شکل ۷ به دلیل نزدیک بودن زمان محاسباتی الگوریتم ژنتیک به صفر، نمودار بسیار نزدیک به محور X می‌باشد.

$$\frac{\text{بهترین جواب} - \text{متوسط جواب}}{\text{درصد خطأ}} \times 100$$

همچنین فرآیند تولید نسل الگوریتم مورد نظر تا زمانی ادامه دارد که الگوریتم به یک جواب، همگرا گردد. بنابراین، در الگوریتم ژنتیک ارائه شده در این تحقیق درصورتی که پس از چند نسل متوالی هیچ بهبودی در جواب‌ها حاصل نگردد، الگوریتم متوقف می‌شود. در غیر این صورت، الگوریتم تا زمانی که تعداد تکرارهای آن به اتمام برسد ادامه می‌یابد. در شکل ۸ نمونه‌ای از رسیدن به جواب بهینه برای مساله شماره ۹ را نشان می‌دهیم. همانطور که مشاهده می‌کنید الگوریتم موردنظر بعد از تقریباً ایجاد ۱۰ تکرار همگرا می‌شود و دیگر نیازی به تکرارهای بیشتر نمی‌باشد.

۴-۶. عملگر جهش

عملگر جهش معمولاً برای جستجوی جواب‌های دور افتاده و همچنین فرار از بهینه‌های محلی اجرا می‌شود. عملگر جهش استفاده شده در این الگوریتم، به صورت جایه‌جایی عدد اولویت مربوط به دو عملیات انجام می‌گردد. به این صورت که دو عملیات (دو ستون از بخش دوم کروموزوم) به تصادف انتخاب شده و مقادیر آن‌ها با هم جایه‌جایی می‌گردند. نحوه‌ی عملکرد این عملگر در شکل ۵ نشان داده شده است.

	O_{11}	O_{12}	O_{13}	O_{21}	O_{22}	O_{23}
بخش ۱	2	1	2	2	1	1
بخش ۲	0.087 2	0.125 5	0.193 3	0.679 8	0.202 9	0.443 2

	O_{11}	O_{12}	O_{13}	O_{21}	O_{22}	O_{23}
بخش ۱	2	1	2	2	1	1
بخش ۲	0.087 2	0.202 9	0.193 3	0.679 8	0.125 5	0.443 2

شکل ۵. نمایش عملگر جهش مساله

۴-۲. تجزیه و تحلیل عددی

پردازشگر اجرا کننده یک کامپیوتر با مشخصات ۲.۶۰GHz پردازشگر و تحت سیستم عامل ویندوز ۷ می‌باشد. برای طراحی روش فرالبتکاری ژنتیک از نرم افزار MATLAB استفاده شده است. هر یک از مسائل ۱۰ بار به صورت تصادفی اجرا شده است.

جدول ۱. مقادیر پارامترهای الگوریتم ژنتیک

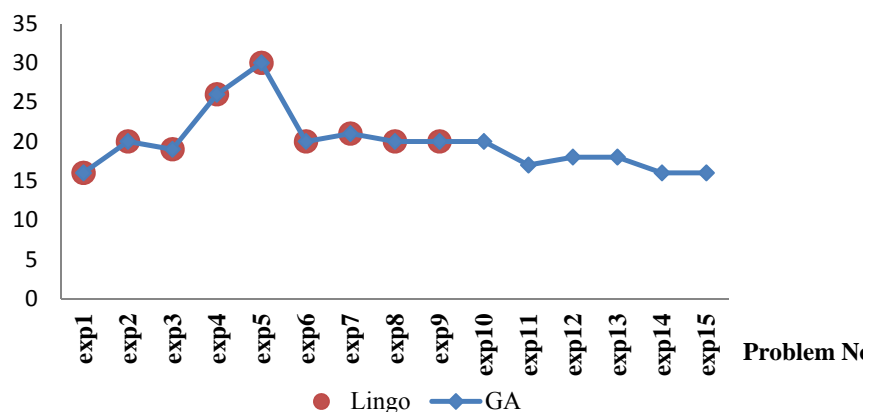
Population Size	200
Number of Generation	100
Probability of Elitism Operator	0.2
Probability of Crossover Operator	0.95
Probability of Mutation Operator	0.1

جدول ۲. مقایسه جواب الگوریتم ژنتیک با نرم‌افزار لینگو

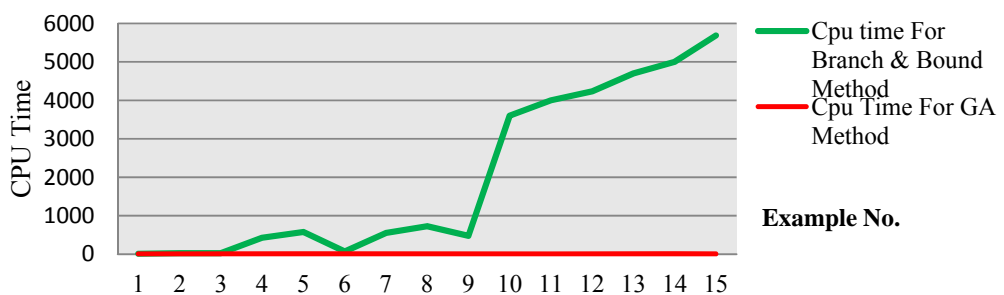
Exp No.	J	New J	M	Opr	Lingo				GA Algorithm				ap
					Var	Cons	F _{Opt}	t(s)	F _{Best}	F _{Avg}	t(s)	Best-Avr	
1	2	1	2	7	459	901	16	9	16	16	4.6225	0	0

2	2	1	2	9	459	910	20	25	20	20	6.0310	0	0	
3	2	2	2	10	755	1353	19	25	19	19	5.8064	0	0	
4	2	2	4	11	1487	2736	26	426	26	26	7.1445	0	0	
5	2	2	4	12	1487	2745	30	2583	30	30	12.9802	0	0	
6	3	1	4	9	1490	3281	20	69	20	20	8.6772	0	0	
7	3	1	4	10	1490	3287	21	549	21	21.36	5.8960	1.71	0	
8	3	2	4	10	2192	4342	20	726	20	20.55	8.1928	2.75	0	
9	3	2	4	12	2192	4360	20	477	20	20.2	7.2433	1	0	
10	3	3	4	12	1487	2697	NA	>3600	20	20.19	7.8071	0.95	---	
11	4	1	4	13	2195	5142	NA	>3600	17	17.36	5.9968	2.11	---	
12	4	2	4	14	3041	6419	NA	>3600	18	18.25	7.8666	1.38	---	
13	4	3	4	15	4031	7918	NA	>3600	18	18.30	6.3262	1.66	---	
14	5	1	5	14	3809	9349	NA	>3600	16	16.12	10.703	0.75	---	
15	5	2	5	15	5042	11222	NA	>3600	16	16.08	6.7889	0.5	---	

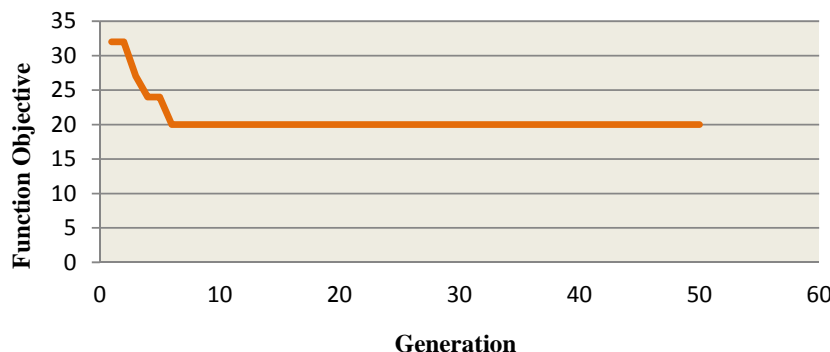
Function Objective



شکل ۶. نمودار مقایسه جواب الگوریتم ژنتیک با نرم افزار لینگو



شکل ۷. نمودار مقایسه زمان حل الگوریتم ژنتیک با نرم افزار لینگو



شکل ۸. نمودار همگرایی برای مثال شماره ۹

و نقل نوع سوم (رباط) انتخاب شده است. شکل ۹ حالت بهینه را نشان می‌دهد که C_{Max} برابر با ۸ می‌باشد.

Machine No.	O ₁₁	O ₁₂	O ₂₁	O ₂₂	Time
M ₂			4		8
M ₁	4		6		

شکل ۹. نمودار چارت راه حل بهینه برای داده‌های اولیه

جدول ۵ شامل اطلاعات جدید برای مساله بعد از وقوع پیشامد می‌باشد. همانطور که بیان شد، در این مقاله ورود دو کار جدید و تغییر زمان پردازش عملیات دوم از کار اول در نظر گرفته شده است. مدیر تصمیم می‌گیرد که زمانبندی مجدد هر چهار روز انجام گیرد (RT=4)، بنابراین در پایان روز ۴ و بعد از ورود دو کار جدید اطلاعات به صورت زیر می‌باشد.

جدول ۵. اطلاعات جدید در طی ۴ روز			
P _{ijk}	Machine 1	Machine 2	
Job ₁	O ₁₁	تکمیل شد	
	O ₁₂	7	4
Job ₂	O ₂₁	تکمیل شد	
	O ₂₂	2	6
Job ₃	O ₃₁	5	0
	O ₃₂	6	3
Job ₄	O ₄₁	0	4
	O ₄₂	6	8

در زمانبندی مجدد بر اساس اطلاعات جدید، فرض می‌شود کارهایی که بر روی ماشین قابل انجام شده و یا در حین فرآیند پردازش قرار دارد، بر روی همان ماشین باقی خواهد ماند. بنابراین

۴-۲-۴. عملکرد معیار پایداری

برای ارزیابی عملکرد معیار پایداری چندین مثال در نرم‌افزار لینگو اجرا شد که به دلیل کوچک بودن ابعاد مساله، معیار پایداری مقدار صفر را نشان می‌داد. اما مثالی که در زیر ارائه می‌شود تا حدودی نحوه عملکرد این معیار را نشان می‌دهد. فرض می‌شود این مساله دارای دو کار و چهار عملیات می‌باشد. شماره ماشین‌ها و زمان‌های پردازش برای ماشین‌های قابل تخصیص از هر عملیات در جدول ۳ ارائه شده است. همچنین داده‌های مربوط به فاصله بین ماشین در جدول ۴ نشان داده شده است.

جدول ۳. داده‌های اولیه

P _{ijk}	Machine1	Machine 2
Job ₁	O ₁₁	5
	O ₁₂	4
Job ₂	O ₂₁	6
	O ₂₂	6

جدول ۴. ماتریس فاصله

D	Machine 1	Machine 2
Machine 1	0	20
Machine 2	20	0

فرض می‌کنیم که سه نوع وسیله حمل و نقل شامل لیفتراک، جرثقیل و رباط وجود دارد که تعداد هر نوع از این وسیله حمل و نقل (به ترتیب لیفتراک، جرثقیل، رباط) و سرعت مربوط به آن عبارتند از:

$$NV = \{3, 3, 3\}$$

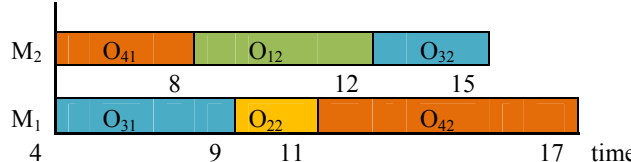
$$\sigma v = \{5, 2, 10\}$$

با توجه به اطلاعات داده شده، مساله توسط مدل ریاضی حل و نتایج آن بدست آمده است. در این حالت تابع هدف مدل به دلیل نبود رویداد غیرمنتظره، تنها حداقل سازی دوره ساخت در نظر گرفته شده است. خروجی‌های مساله نشان می‌دهد که وسیله حمل

مسئله با تابع هدف C_{Max} توسط مدل ارائه شده، حل شد که خروجی‌های مربوط به آن در شکل ۱۰ نشان داده شده است.

تنها عملیات باقی‌مانده از کارهای قدیم و کارهای جدید که وارد شده‌اند، زمانبندی خواهند شد. در ابتدا با توجه به این اطلاعات،

Machine No.

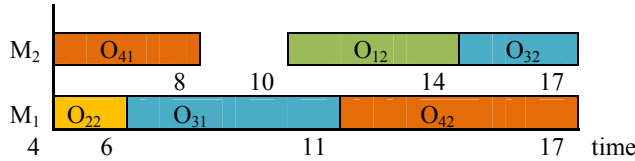


شکل ۱۰. نمودار گانت زمانبندی مجدد با تابع هدف کارایی

موجب شد که زمانبندی عملیات دوم از کار ۲ (O₂₂) مانند زمانبندی این عملیات در حالت قطعی انجام شود و موجب کاهش انحراف از زمان شروع عملیات مربوط به این کار در دو برنامه شده است.

زمانبندی مجدد عملیات باقی‌مانده و کارهای جدید براساس معیار کارایی و معیار پایداری در شکل ۱۱ نشان داده شده است. همانطور که مشاهده می‌شود معیار کارایی تغییر نکرده اما معیار پایداری بهبود یافته است. به عبارت دیگر، معیار پایداری در این حالت

Machine No.



شکل ۱۱. نمودار گانت زمانبندی مجدد با تابع هدف کارایی و پایداری

مدل توسط نرم‌افزار لینگو^۹ و با توجه به خروجی‌های مسئله نمودارهای گانت مربوط به آن‌ها در حالت‌های با درنظر گرفتن معیار کارایی و پایداری به صورت همزمان و بدون در نظر گرفتن معیار پایداری، رسم شد. این نمودارها نشان داد که درنظر گرفتن معیار پایداری به همراه معیار کارایی، موجب پایدارتر شدن برنامه نسبت به حالت اولیه گشته است و این بیان کننده تاثیر این معیار در مسئله موردنظر و کارآمدی مدل ارائه شده می‌باشد.

در مقایسه پژوهش حاضر با سایر پژوهش‌ها می‌توان گفت که با وجود اینکه مبحث FJSP، مبحث جدید نمی‌باشد و تحقیقات داخلی و خارجی بسیاری (از جمله [۱۳] و [۱۴]) در این حوزه صورت گرفته است اما پژوهشی که مسئله موردنظر را با فرض صفر نبودن زمان‌های حمل و نقل در یک محیط پویا بطور همزمان در نظر نگیرد، مشاهده نشده است. با این حال در مصادیهای عملی این مسئله، ویژگی‌های دیگری نیز وجود دارد که توجه به آن‌ها می‌تواند حوزه‌های جذابی را برای مطالعات آتی فراهم آورد. با توجه به نتایج، پیشنهاد می‌شود که تاثیر معیارهای پایداری دیگر مانند کمینه کردن انحراف از زمان‌های تکمیل عملیات کارها و یا واریانس زمان‌های تکمیل در دو برنامه در نظر گرفته شود و نیز مقایسه‌ای بین نتایج حاصل از درنظر گرفتن این معیارهای متفاوت، صورت گیرد. استفاده از الگوریتم‌های فراتکاری تلفیقی برای کاهش سرعت همگرایی و پراکنده‌گی جواب‌ها، مقایسه نتایج آن‌ها با

۵. بحث و نتیجه‌گیری

در این پژوهش مسئله زمانبندی تولید کارگاهی انعطاف‌پذیر با درنظر گرفتن پیشامد ورود کارهای جدید و تغییر زمان عملیات به عنوان عوامل پویای مدل در کنار زمان‌های حمل و نقل تجهیزات، مورد مطالعه قرار گرفت. توجه به پویایی مسئله در کنار فرض صفر نبودن زمان‌های حمل و نقل، تحلیل ریاضی مدل با استفاده از روش‌های متعارف را بسیار مشکل و غیرعملی کرده است. بنابراین برای حل مسئله از قابلیت‌های الگوریتم فراتکاری ژنتیک - که کاربرد ویژه‌ای در حل مسائل زمان و زمانبندی دارد - استفاده شد. برای ارزیابی کارآمدی الگوریتم از ۱۵ مثال عددی تصادفی که با الگوریداری از مثال موجود در ادبیات بدست آمده، استفاده شد. همچنین پارامترهای مربوط به زمان‌های حمل و نقل برای مثال‌های مذکور، از داده‌های یک سیستم واقعی استخراج و کارایی این الگوریتم با استفاده از رابطه تعریف شده در پژوهش روشنایی [۲۲] مورد سنجش قرار گرفت. نتایج حل حاصل از ۱۵ مسئله تصادفی، کارآمدی الگوریتم طراحی شده و درصد خطای صفر برای تفاوت بین بهترین جواب ژنتیک با بهترین جواب لینگو و میانگین جواب ژنتیک در ۹ مسئله اول را نشان داد. اما با بزرگتر شدن ابعاد مسئله این درصد خطای برای بهترین جواب و میانگین جواب ژنتیک، افزایش یافت که بسیار ناچیز بود. همچنین برای نمایش عملکرد معیار پایداری، از یک مثال عددی تصادفی استفاده شد. پس از حل

- on Electronics Information and Systems, 2009, Vol. 129, pp. 505-511.
- [9] Ozguven C, Ozkabir L, Yavuz Y. Mathematical models for Job-shop Scheduling problems with routing and process plan flexibility, Applied Mathematical Modelling, 2010, Vol. 34, pp. 1539-1548.
- [10] Holloway CA, Nelson RT. Job shop scheduling with due dates and variable processing times, Management Science, 1974, Vol. 20, pp. 1264-1275.
- [11] Liu AJ, Yang Y, Deng QS, Lu H, Zhang YD, Zhou ZY, Wu GH, Zhao XH. Dynamic scheduling on multi-objective flexible job shop, Computer Integrated Manufacturing Systems, 2011, No. 12, Vol. 17, pp. 2629-2637.
- [12] [Adibi MA, Zandieh M, Amiri M. Multi-objective scheduling of dynamic job shop using variable neighborhood search, Expert Systems with Applications, 2010, No. 1, Vol. 37, pp. 282-287.]
- [۱۳] نهاندی، نسیم؛ عباسیان، محمد. حل مساله زمانبندی کارگاهی چنددهفی تنعطاف‌پذیر پویا به وسیله الگوریتم ژنتیک توسعه یافته. نشریه بین‌المللی مهندسی صنایع و مدیریت تولید، ۱۳۸۹، (۳)، ۲۱-۲۰، صص. ۱۲-۲.
- [14] Fattahi P, Fallahi A. Dynamic scheduling in flexible job shop systems by considering simultaneously efficiency and stability, Journal of Manufacturing Science and Technology, 2010, Vol. 2, pp. 114-123.
- [15] Goren S, Sabuncouglu I, Koc U. Optimization of schedule stability and efficiency under processing time variability and random machine breakdowns in a job shop environment, Naval Research Logistics, 2010, Vol. 59, pp. 26-38.
- [16] Rangsaritratsamee R, Ferrell Jr W, Kurz M. Dynamic rescheduling that simultaneously considers efficiency and stability, Computers & Industrial Engineering, 2004, 46, pp. 1-15.
- [17] Church LK, Uzsoy R. Analysis of periodic and event-driven rescheduling policies in dynamic shops, International Journal of Computer Integrated Manufacturing, 1992, No. 3, Vol. 5, pp. 153-163.
- [18] Wu SD, Storer RH, Chang PC. One-machine rescheduling heuristics with efficiency and stability as criteria, Computers and Operations Research, 1993, No.1, Vol. 20, pp. 1-14.
- نتایج حاصل از این پژوهش و نیز مطالعه موردی مدل در یک محیط واقعی از دیگر پیشنهادهای آتی می‌تواند باشد.
- ### پی‌نوشت
1. Job Shop Scheduling
 2. Genetic Algorithm
 3. Dynamic
 4. Periodic Policy
 5. Event-driven Policy
 6. Artificial neural network
 7. Tardiness
 8. Makespan
 9. Stability
 10. Dynamic Job Shop Scheduling
 11. Random key
- ### مراجع
- [۱] ذگردی، سید حسام الدین؛ بهشتی‌نی، محمدعلی؛ جعفری حاج آقا، ناصر. کمینه‌سازی حداقل زمان تکمیل در مساله زمانبندی تولید کارگاهی با ماشین‌های موازی، نشریه بین‌المللی مهندسی صنایع و مدیریت تولید، ۱۳۸۸، (۲۰)، ۲۲۰-۱۳۸۸، صص. ۱۱-۲۱.
- [۲] بهروزی، مهدی؛ عشقی، کوروش. بکارگیری الگوریتم ترکیبی بهینه‌سازی دسته ذرات برای حل مساله سنتی زمانبندی کارگاهی، نشریه بین‌المللی مهندسی صنایع و مدیریت تولید، ۱۳۸۸، (۲۰)، ۷۵-۵۷.
- [۳] یوسفی یگانه، بابک؛ خانلرزاده، نرگس؛ رحیمی‌فرد، علی. الگوریتم ممتیک برای حل مساله زمانبندی کارگاهی منعطف با امکان ایجاد وقفه در انجام فعالیت‌ها، ۱۳۹۰، (۲۲)، ۳۳۲-۳۴۰.
- [4] Bruker P, Schlie R. Job shop scheduling with multi-purpose machines, Computing, 1990, Vol. 45, pp. 369-375.
- [5] Lee YH, Jeong CS, Moon C. Advanced planning and scheduling with outsourcing in manufacturing supply chain, Computer & Industrial Engineering, 2002, Vol. 43, pp. 351-374.
- [6] Saidi-mehrabad M, Fattahi P. Flexible job shop scheduling with tabu search algorithm, International Journal of Advanced Manufacturing Technology, 2007, Vol. 32, pp. 563-570.
- [۷] جعفرزاده افشاری، احمد، امین ناصری، محمدرضا، مدل مبتنی بر جستجوگر محلی ژنتیک برای مساله زمانبندی استقرار کارگاهی تعیین یافته با زمان‌های عملیات قابل کنترل، ۱۳۹۲، (۲۴)، ۱۳۹۲، (۱)؛ صص. ۴۴-۵۴.
- [8] Ida K, Oka K. Flexible job shop scheduling problem by genetic algorithm, IEEJ Transactions

- [21] Garey MR, Johnson DS, Sethi R. The complexity of flowshop and jobshop scheduling, Mathematics of Operations Research, 1976, No. 2, Vol. 1, pp. 117-129.
- [22] Roshanaei V. mathematical modeling and optimization of flexible job shops scheduling problem, Electronic thesis and dissertations, University of Windsor, Windsor, Ontario, Canada, 2012.
- [19] Al-Hinai N, ElMekkawy TY. Robust and stable flexible job shop scheduling with random machine breakdowns using a hybrid genetic algorithm, International Journal of Production Economics, 2011, No. 2, Vol. 132, pp. 279-291.
- [20] Zhang Q, Manier H, Manier MA. A genetic algorithm with tabu search procedure for Flexible Job Shop Scheduling with transportation constraints and bounded processing times, Computer & Operation Research, 2012, No. 39, pp. 1713-1723.